

# Segulspætur

Jón Tómas Guðmundsson

Raunvísindastofnun Háskólans,  
Dunhaga 3, IS-107 Reykjavík

[tumi@hi.is](mailto:tumi@hi.is)

31. janúar 2002

1

## Spætun

- Spætun er víða notuð við ræktun þunnra húða sem hafa nýja efnis- eða yfirborðseiginleika
- Dæmi um slíkar húðir eru
  - Í smárásum (e. integrated circuits)
  - Segulefni
  - Harðar húðir
  - Núningsfletir
  - Húðir fyrir ljóstækni (e. optical coating)
  - Skrauthúðir
  - Slitþolnar húðir
  - Tæringarvörn

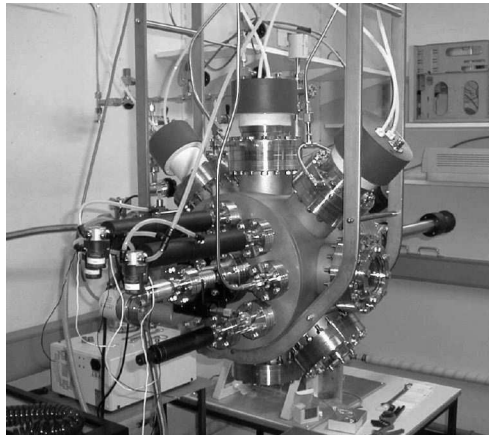
3

## Yfirlit

- Almennt um spætun
- Almennt um rafgas
- Kennistærðir rafgass
- dc spætur
- Segulspætur
- Endurbætur á segulspætutækni
- Púlsuð segulspæta
- Samantekt

2

## Spætun



- Segulspætur gegna veigamiklu hlutverki í framleiðslu þunnra húða
- Myndin sýnir segulspætu á Raunvísindastofnun Háskólans

4

## Rafgas

- Rafgas er hlut- eða full jónað gas sem inniheldur rafeindir, jónir, hlutlausar frumeindir og sameindir
- Í hlutjónuðu rafgasi eru rafeindir, sameindir og jónir almennt ekki í varmajafnvægi

Rafgasefnafræðin getur verið flókin

Argon rafgas samanstendur af

e, Ar,  $\text{Ar}^+$ ,  $\text{Ar}^*$ , ...

Súrefnisrafgas samanstendur af

e, O,  $\text{O}_2$ ,  $\text{O}_2^+$ ,  $\text{O}^+$ ,  $\text{O}_2^-$ ,  $\text{O}^-$ ,  $\text{O}_2^*$ ,  $\text{O}^*$ , ....

$\text{SF}_6$  rafgas samanstendur af

e,  $\text{SF}_6$ ,  $\text{SF}_5^+$ ,  $\text{SF}_4^+$ ,  $\text{SF}_3^+$ ,  $\text{F}^+$ ,  $\text{F}^-$ ,  $\text{F}^*$ ,  $\text{F}_2$ , F, ....

5

## Kennistærðir rafgass

Gefnar stýristærðirnar

- Gasþrýstingur  $p$
- Afl  $P_{\text{abs}}$  eða katóðuspenna  $V_{\text{target}}$
- Stærð afhleðslunnar  $R$  og  $L$

þá fýsir okkur að vita

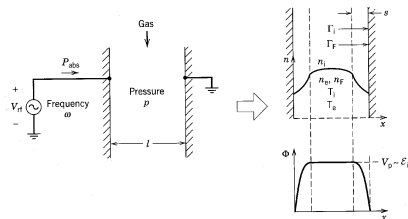
- Flæði jóna og atóma til undirlags,  $\Gamma_i, \Gamma_n$
- Orkudreifingu jóna og stefnu  $f(\mathcal{E}_i)$
- Orkudreifingu rafeinda  $f(\mathcal{E}_e)$

7

## Kennistærðir rafgass

Rafgasið hefur eftirfarandi eiginleika (kennistærðir)

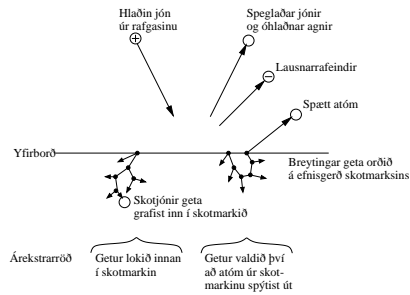
- Rafeindaþéttleiki  $n_e$  og jónaþéttleiki  $n_i$
- Refeindahitastig  $T_e$  er mælikvarði á meðalorku rafeinda í gasinu
- Rafgas, sem er nærhlutlaust ( $n_i \approx n_e$ ), tengist yfirborðum um jákvætt hlaðið lag, nefnt slíður (e. sheath) af þykkt  $s$
- Á milli rafgasbolsins og yfirborðsins myndast mætti, rafgasmættið,  $V_{pl}$



6

## dc spæta

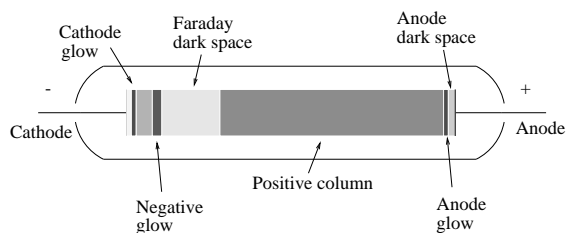
- Spætun var uppgötvtuð 1852
- Jón með orku 50 – 1000 eV spætir atóm og losar rafeindir úr skotmarki
- Þetta má gera með því að hraða jón úr rafgasi sem þá er myndað milli tveggja skauta sem á er lögð dc spenna



Mynd [Ólafsson and Arnalds, 1999]

8

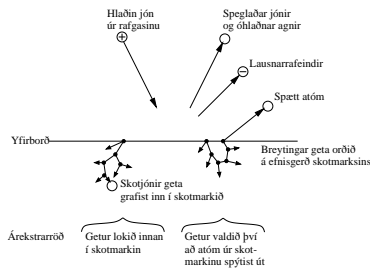
## dc spæta



- Dæmigerð dc afhleðsla samanstendur af jákvæðri anóðu og neikvæðri katóðu sem komið er fyrir í löngum lofttæmdum glersívalningi
- Argon er oftast notað sem spætunargas vegna óhvarfgirni þess og hæfilegs massa til spætunar
- Hún vinnur á þrýstingsbilinu 10 mTorr upp í 10 Torr

9

## dc spæta

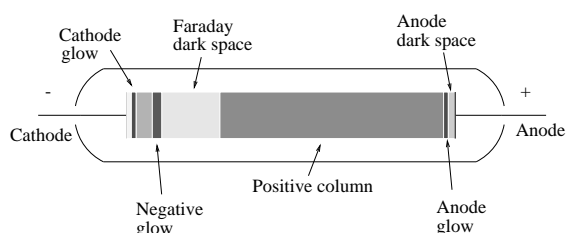


Mynd [Ólafsson and Arnalds, 1999]

- Afhleðslunni er viðhaldið með lausnarafeindum sem er geislað út frá skotmarkinu við árekstur jóna sem hraðað er yfir slíðrið
- Fyrir hverja argonjón losna 0.1 – 3 lausnarafeindir frá katóðunni
- Skotmarkinu (katóðunni) er haldið við háa neikvæða spennu og lausnarafeindunum er hraðað yfir slíðrið með upphafsorku sem samsvarar mættinu yfir slíðrið

11

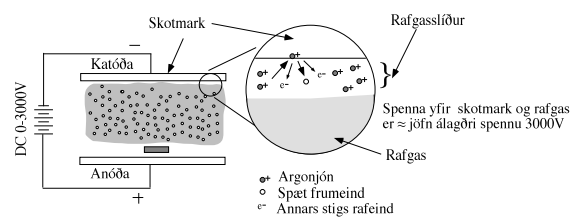
## dc spæta



- Til að viðhalda rafgasi þarf spenna á milli skaутa að vera nokkur hundruð volt
- Spennan fellur fyrst og fremst yfir slíðursvæðið næst katóðunni
- Rafeindirnar sem bera mest af straumnum í jákvæðu súlunni ná ekki að katóðunni
- Jónirnar eru þungar og geta ekki borið þennan straum

10

## dc spæta

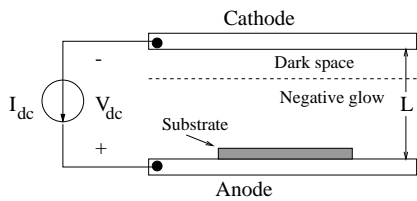


Mynd [Ólafsson and Arnalds, 1999]

- Þessar rafeindir jóna atóm sem aftur er hraðað yfir slíðrið að skotmarkinu og losa þar fleiri lausnarafeindir
- Straumur byggist upp með jónun innan slíðursins vegna lausnarafeinda

12

## dc spæta



- Dæmigerð útfærsla á dc spætu hefur  $L/R \leq 1$  og er sívalningslag
- Bilið milli katóðu og anóðu er um  $L \sim 5$  cm
- Jákvæða súlan er oftast ekki fyrir hendi í svo stuttri afhleðslu og spennan fellur nær öll yfir slíðrið við katóðuna
- Oftast er notað Ar gas
- Straumi haldið föstum á meðan ræktað er
- Undirlagið, sem ræktað er á, hvílir á anóðunni

13

## dc spæta

- Ókostir við dc spætun eru
    - Lítill ræktunarhraði
    - Lítil jónun
    - Mikil upphitun undirlags
  - Æskilegt er að láta spætuna vinna við
    - hærri straumþéttleika
    - lægri spennu
    - lægri gasþrýsting
- en hægt er að fá í dc spætu

15

## dc spæta

- Til að mynda þetta húð með ásættanlegum ræktunarhraða ( $\sim 350$  Å/min) þarf jónaþéttleika  $\geq 1$  mA/cm<sup>2</sup>
- Afhleðslan þarf að vinna við  $V_{dc} \sim 2 - 5$  kV
- Einnig verður gasþrýstingur að vera nægilega hár til að lausnarafeindirnar nái ekki að anóðunni eða að jarðtengdum yfirborðum
- Pessi gasþrýstingur er hærri en heppilegt er til ræktunar með spættu atómum vegna dreifingar frá atómum gassins
- Það er því á þróngu þrýstingsbili umhverfis 30 mTorr sem dc spætun er nothæf

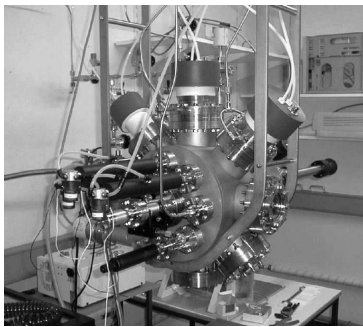
14

## Segulspæta

- Segulspætan var þróuð til að auka spætun og þar með ræktunarhraða
- Í segulspætu er þéttu rafgasi haldið við katóðuskaut með segulsviði
- Segulsvið hremmir orkumiklar jónandi rafeindir nærri katóðunni, sem viðhalda rafgasinu
- Jónahríð frá rafgasinu spætir atóm frá katóðuskotmarki og spættar agnir falla á yfirborð og mynda húð
- Skotmarkið er umlukið þéttu rafgasi en undirlagið, sem á er ræktað, situr í veikara rafgasí

16

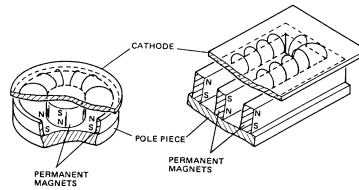
## Spætun



- dc segulspætur eru viða notaðar til að mynda málmhúðir úr t.d. áli, gulli, þungsteini og ýmsum melnum
- Pregar rf afkjafi er tengdur yfir skautin má rækta þunnar oxíð-, nítríð- og keramikhúðir
- Aukin þörf fyrir ný efni og fjöllaga ræktun hafa leitt til þróunar fullkomnari spætukerfa

17

## Segulspæta



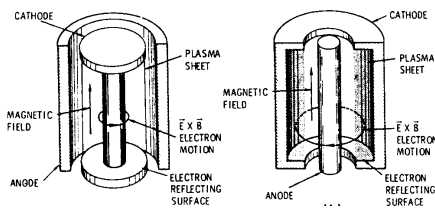
Mynd [Waits, 1978]

- Í flatri segulspætu er katóðan flöt
- Flata segulspætan er mun algengari sem framleiðslutæki
- Venjulega vinnur flöt dc afhleðsla við 1 – 10 mTorr gasþrýsting, segulsvið 0.01 – 0.05 T (100 – 500 Gauss) og áglagða katóðuspennu 300 – 700 V
- Í dæmigerðri dc segulspætu er katóðunni haldið við fasta neikvæða spennu

19

## Segulspæta

- Segulspætan getur verið flöt eða sívalningslagu

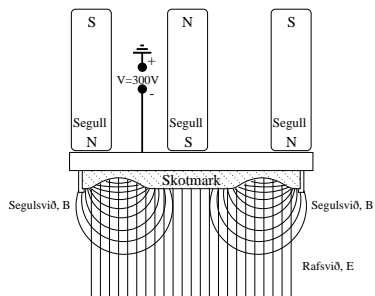


Mynd [Thornton and Penfold, 1978]

- Í sívalningslagu segulspætu eru skautin sammiðja sívalningar og segulstefnan er eftir ás afhleðslunnar
- Ef miðju sívalningurinn er katóðan flæða spættu atómin út eftir radíanum

18

## Segulspæta

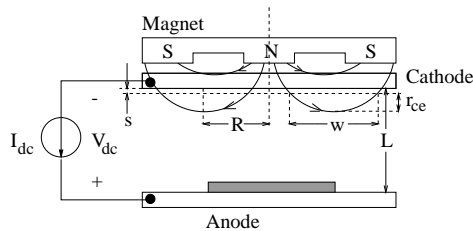


Mynd [Ólafsson and Arnalds, 1999]

- Í segulspætu er dvalartími og brautarlengd rafeindanna í rafgasinu lengdur og þar með fjölgað árekstrum þeirra við gasatóminn
- Þetta er gert með því að koma fyrir sísegli ofan við katóðuna
- Segulsviðið er nærrí hornrétt á rafsviðið milli skautanna
- Segulsviðið hremmir lausnarafeindirnar sem ferðast nú eftir spíralлага brautum

20

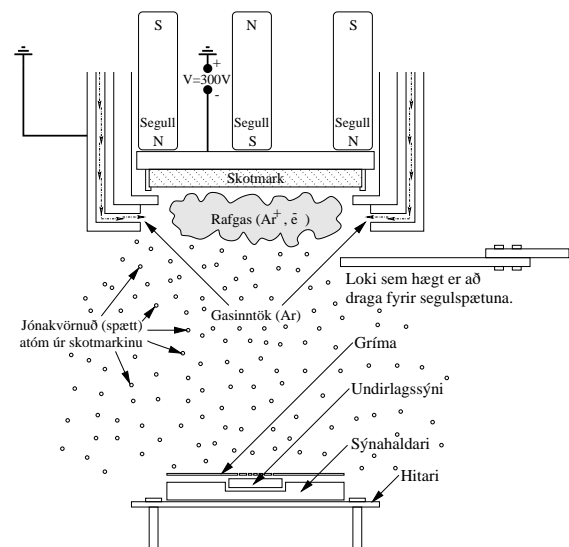
## dc afhleðsla



- Dæmigerð flót ( $L/R \leq 1$ ) segulspæta er sýnd hér að ofan
- Sísegлarnir ofan við katóðuna mynda segulsviðslínur sem koma út um mitt katóðuskautið og lokast við jaðra þess
- Segulsviðið hefur aðeins áhrif á rafeindirnar þegar það er af þeim styrk sem gjarnan er notaður í segulspætum
- Rafgasið er myndað ef  $> 200$  V neikvæð spenna er lögð á katóðuna

21

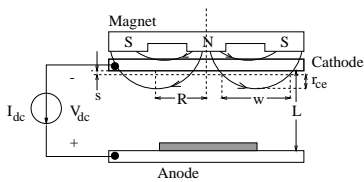
## Segulspæta



Mynd [Ólafsson and Arnalds, 1999]

23

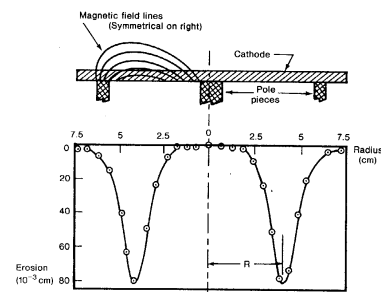
## Segulspæta



- Afhleðslan sést sem lýsandi hrингur af breidd  $w$  og meðalradíu  $R$  sem hangir neðan við katóðuna
- Í þessum hrинг er jónabéttleikinn hæstur
- Spætinin á sér stað undir þessum hrинг
- Rafgasið næst katóðunni hefur háan jónabéttleika ( $10^{18} - 10^{19} \text{ m}^{-3}$ )
- Í nánd við undirlagið sem ræktað er á er þéttleiki jóna nokkrum stærðargráðum lægri ( $10^{15} - 10^{16} \text{ m}^{-3}$ )
- Hlutfall málmjóna og atóma er þar tiltölulega lágt

22

## Segulspæta



Mynd [Chapin, 1974]

- Staðbundið rof (e. erosion) skotmarksins er afleiðing hins sterka segulsviðs sem situr að baki skotmarksins
- Þetta tiltekna segulsvið gefur rofsnið sem er þannig að aðeins 26 % skotmarksins eru nýtast

24

## Segulspæta

- Ræktunarhraðanum er stýrt með afli til katóðu eða spennu milli skauta
- Straum-spennu kennilína fylgir gjarnan

$$I = kV^n$$

þar sem  $I$  er straumur til katóðu og  $V$  er álöðð katóðuspenna

- Því betur sem segulsviðið hremmir rafeindirnar því hærri er veldisvísirinn  $n$
- Veldisvísirinn  $n$  liggur á bilinu 5 – 15, hefur lág gildi þegar afhleðslan er við mjög lágan gasþrýsting eða segulsviðið er af lágum styrk
- Í dæmigerðri segulspætu eru katóðuspennan og straumurinn tengdar stærðir
- Aukinn ræktunarhraði þýðir þá að auka verður spennuna á katóðunni til að auka þéttleika rafgassins
- Aukið flæði jóna gefur því aukinn straum

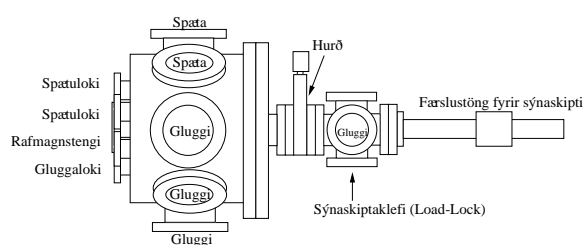
25

## Segulspæta - rf

- Ekki er hægt að nota skotmörk úr einangrurum til spætunar í dc segulspætu, þar sem hleðsla safnast upp á þeim
- Þar með lækkar orka þeirra jóna sem lenda á skotmarkinu
- Þetta má hindra með því að nota riðspennu, sem þá er gjarnan á útvartstíðni, 13.56 MHz
- Í segulspætu er rf spætun umtalsvert hægari en dc spætun
- Jónum er aðeins hraðað til skotmarksins á meðan spennan er neikvæð
- Bindiorka atóma á yfirborði einangrara er hærri en í leiðurum og hærri orku þarf til að losa þau

27

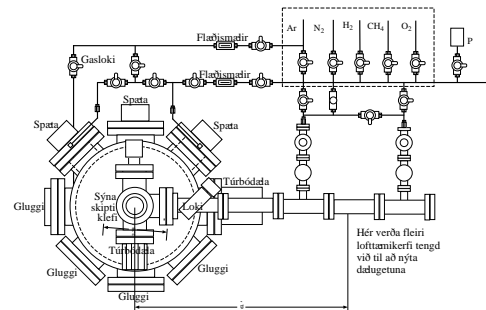
## Segulspæta



- Dæmigerðar vinnustærðir fyrir segulspætu
  - $B_0 \sim 200 - 400$  Gauss
  - $p \sim 1 - 5$  mTorr
  - $\bar{J}_i \sim 10 - 50$  mA/cm<sup>2</sup>
  - $V_{dc} \sim 500 - 1000$  V
  - Ræktunarhraði  $\sim 2000$  Å/min

26

## Segulspæta - hvarfaspætun



- Efnsambönd eins og oxíð og nítríð eru ræktuð með hvarfaspætun (e. reactive sputtering) þar sem málmskotmark er spætt í hvarfgjörnu gasi
- Í segulspætu með Al skotmark má þá rækta Al<sub>2</sub>O<sub>3</sub> úr Ar/O<sub>2</sub> rafgasi og AlN úr Ar/N<sub>2</sub> rafgasi

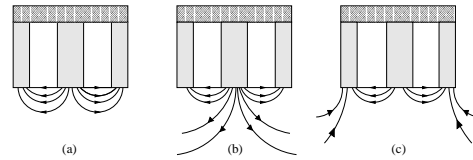
28

## Segulspæta

- Gallar á dc segulspætum
  - Léleg nýting á skotmarki (25 – 30 %) er notað
  - Mengun á skotmarki (myndun einangrandi húðar við hvarfaspætun)
  - Varmaálag á skotmarki
  - Lágur ræktunarhraði þegar ræktaðir eru rafsvavarar og segulmögnuð efni
  - Raffraeðilegur óstöðugleiki eða ljósbogar (e. arcs)

29

## Segulspæta - ójöfnuð



- Ójöfnuð segulspæta (e. unbalanced) var þróuð til þess að auka jónastrauð í nágrenni undirlagsins sem ræktað er á
- Í ójafnaðari segulspætu er segulsviðið á ytri hringnum aukið eða minnkað með tilliti til miðjunnar
- Þannig lokast ekki allar segulsviðslínurnar við miðju og ytri póla segulspætunnar og eitthvað af lausnarafeindunum fylgja þessum sviðslínum
- Rafgasið er þannig ekki aðeins bundið svæðinu næst skotmarkinu heldur er flæðir það í átt að undirlaginu

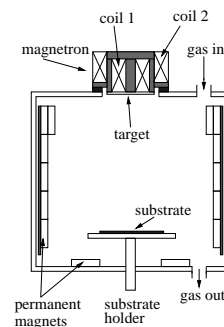
31

## Segulspæta

- Sum ofangreindra vandamála má leysa með því að
  - púlsa spennuna
  - auka jónunina
  - breytilegri hremmingu rafeindanna af segulsviðinu
- Nokkrar lausnir á ofangreindum takmörkunum:
  - Ójöfnuð segulspæta
  - Fjölpóla seglar
  - Innri spanspóla
  - Ytri spanspóla
  - Ósamhverf púlsun
  - Háaflspúlsun

30

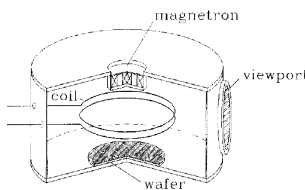
## Segulspæta - fjölpóla seglar



- Ein leið til að auka flæði jóna til undirlagsins er að koma fyrir fjölpóla seglum
- Með fjölpóla seglum á veggjum afhleðslunnar má draga úr töpum jóna til veggja
- Með samspili breytilegrar ójöfnunnar getur jónastrauðinn næst undirlaginu verið stýranlegur

32

## Segulspæta - innri spanspóla



- Til að auka hlutfall jónunar í nágrenni undirlagsins má setja rf spanspólu á milli katóðu og anóðu
- Hennar hlutverk er að jána málmatómin sem spætt eru úr skotmarkinu
- Þá má hraða málmjónum að undirlaginu með lítilli neikvæðri spennu, málmjónirnar lenda þá hornrétt á undirlaginu og hafa stýranlega orku
- Jónun málmatómannar getur verið 80 – 90 % við undirlagið

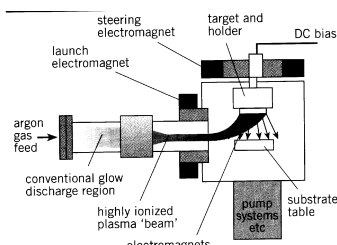
33

## Segulspæta – Púlsuð (ósamhverf)

- Vandi er að beita hvarfaspætun í dc segulspætu til að rækta einangrara frá leiðandi skotmarki
- Einangrandi lag vill myndast á yfirborð skotmarksins sem leiðir til ljósbogamyndunar og óstöðugleika
- Hleðsla safnast upp á yfirborði einangrandi húðarinna og einangrarinn brotnar síðan niður og afleiðingin er að ljósbogi myndast
- Ljósbogamyndun í rafgasinu getur eyðilagt aflgjafann og skotmarkið
- Ein lausn á þessu er að beita ósamhverfri púlsun á spennunni til skotmarksins
- Með henni fæst betri og hraðari ræktun á einangrandi húðum

35

## Segulspæta - ytri spanspóla



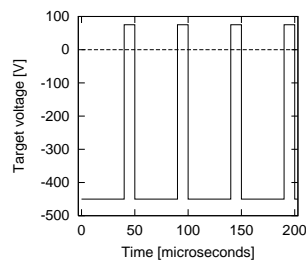
Mynd [Valeron, 2000]

- Rafgas er myndað í sívalningslaga spanafhleðslu (til vinstri á mynd)
- Segullinsur skerpa rafeindirnar í sterkan geisla og beina þeim að skotmarkinu
- Jákvæðum jónum sem myndast í afhleðslunni er hraðað að skotmarkinu af neikvæðu katóðuspennunni

34

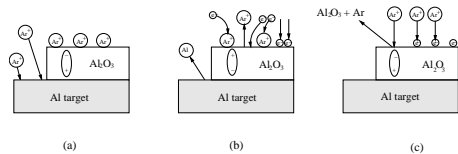
## Segulspæta – Púlsuð (ósamhverf)

- Þá er skotmarkið spætt (við - (400 – 500 V)) í tiltekkinn “pulse on” tíma
- Þessi tími er takmarkaður við það að hleðslan valdi ekki niðurbroti og ljósboga
- Hleðslunni er síðan eytt við “pulse off” þegar á skotmarkið er lögð jákvæð spenna 50 – 100 V
- Spennan á katóðuna er púlsuð á tíðinni 10 – 250 kHz



36

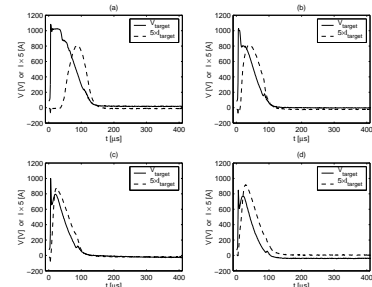
## Segulspæta– Púlsuð (ósamhverf)



- Einangrarinn á yfirborði skotmarksins virkar eins og rafsvari í þétti þar sem skotmarkið er annað skautið og rafgasið er hitt
- Pegar einangrandi húð myndast safnast lágorku jónir á yfirborðið og hlaða þéttinn upp í álagða spennu
- Pegar spennan á þéttinn eykst dregur úr orku jóna sem hraðað er að skotmarkinu

37

## Segulspæta – púlsuð einpóla

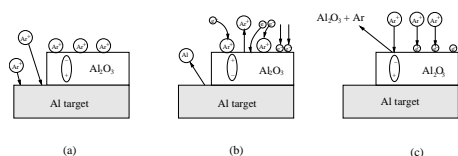


Mynd [Gudmundsson et al., 2002]

- Í dæmigerðri dc segulspætu takmarkast aflþéttleikinn af varmaálagi (e. thermal load) á skotmarkinu, þar sem mest af orku jónanna sem hraðað er að skotmarkinu er breytt í hita
- Í einpóla púlsun er aflgjafinn keyrður á lágu (eða engu) afli og síðan er aflið púlsað í verulega hátt gildi í stuttan tíma

39

## Segulspæta– Púlsuð (ósamhverf)



- Pegar jákvæð spenna (75 V) er lögð á skotmarið dragast rafeindir að yfirborði einangrandi lagsins og það hleðst í neikvætt gildi (-75 V)
- Pegar svo spennan á skotmarið er aftur sett neikvæð (-450 V) er jónum hraðað með mættinu - 525 V og þær hreinsa þá einangrarann af yfirborðinu

38

## Segulspæta – púlsuð einpóla

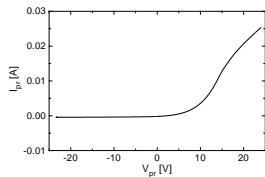
- Hér er lýst tilraun með púlsaða segulspætu
- Aflgjafinn getur gefið púlsa sem eru allt að 2.4 MW
- Peir eru  $100 \mu\text{s}$  langir og koma með 50 Hz tíðni
- Við mælum tímahegðan straum spennu kennilínu frá Langmuirnema og finnum kennistærdir rafgassins, rafeindapéttleika  $n_e$ , virkt rafeindahitastig  $T_{eff}$  og dc rafgasmætti  $V_{pl}$
- Mælingar voru framkvæmdar á þrýstingsbilinu 0.5 – 20 mTorr, skotmarkið var tantalum og meðalaflíð 300 W

40

## Langmuirnemi



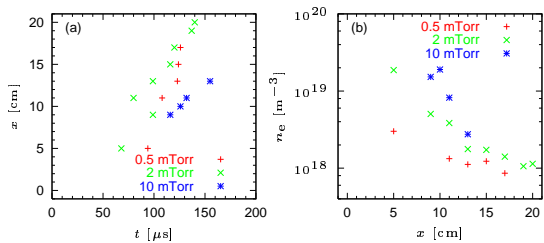
- Einfaldur vír sem stungið er inn í rafgasið



- $I - V$  kennilínan gefur
  - rafeindaþéttleika  $n_e$
  - rafeindahitastig  $T_{eff}$
  - rafgasmættið  $V_{pl}$
  - orkudreiffall rafeindanna (EEDF)

41

## Segulspæta -púlsuð einpóla

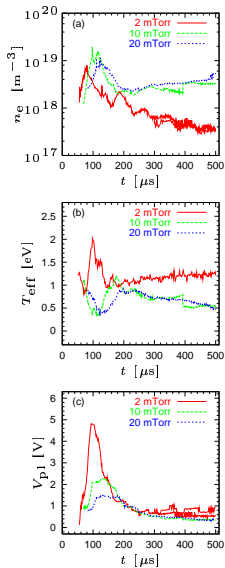


Mynd [Gudmundsson et al., 2002]

- Toppurinn í rafeindaþéttleikanum ferðast í átt frá katóðunni með hraðanum
  - $3.2 \times 10^5$  cm/s við 0.5 mTorr
  - $1.9 \times 10^5$  cm/s við 2 mTorr
  - $1.0 \times 10^5$  cm/s við 10 mTorr
- Toppurinn í rafeindaþéttleika fellur með minnkandi gasþryrstigi og með fjarlægð frá katóðunni

43

## Segulspæta -púlsuð einpóla

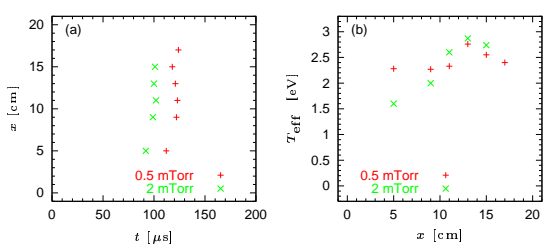


Mynd [Gudmundsson et al., 2002]

- Kennistærðir rafgass 9 cm neðan við skotmark

42

## Segulspæta -púlsuð einpóla

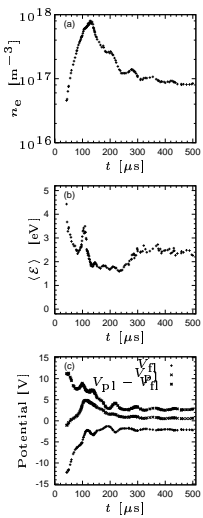


Mynd [Gudmundsson et al., 2002]

- Virkt rafeindahitastig  $T_{eff}$  er í hámarki á sama tíma óháð staðsetningu í afhleðslunni
- Sennilega er um að ræða hrinu háhraða rafeinda sem losna við lok púlsins

44

## Segulspæta -púlsuð einpóla

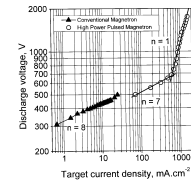


Mynd [Gudmundsson et al., 2001]

- Kennistærðir rafgass 20 cm neðan við skotmark við 2 mTorr

45

## Segulspæta

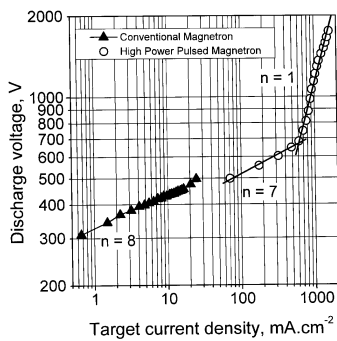


Mynd [Ehiasarian et al., 2002]

- Púlsuð segulspæta sýnir tvenns konar hegðan
  - Við líttinn straumþéttleika  $< 600 \text{ mA/cm}^2$  er  $n = 7$ , sem gefur til kynna eðlilega segulspætuhegðan
  - Við hærri straumþéttleika breytist veldisvísirinn í  $n = 1$ , þar sem hárrí álagðri spennu fylgir ekki veruleg aukning í straumi
- Ein möguleg skýring á þessu er að lausnarrafeindir sem hraðað er við 1600 V er segulsviðinu ekki mögulegt að hremma og þar af leiðir að það dregur úr jónun

47

## Segulspæta

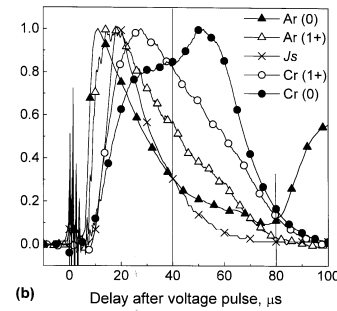


Mynd [Ehiasarian et al., 2002]

- Myndin sýnir  $I - V$  kennilínu segulspætu við 3 mTorr
- Fyrir dæmigerða dc afhleðslu er veldisvísirinn  $n = 8$

46

## Segulspæta

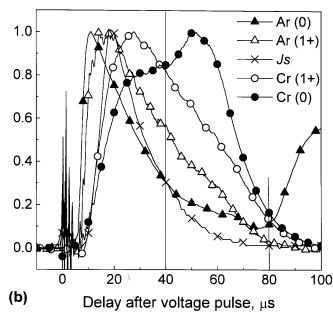


Mynd [Ehiasarian et al., 2002]

- Myndin sýnir ljósútgeislun frá rafgasinu 1 cm neðan við Cr skotmark
- Rafgas af háum þéttleika myndast fyrstu 40  $\mu\text{s}$
- Fyrst sést útgeislun frá Ar atómum frá bakgrunnsgasinu þegar niðurbrot á sér stað

48

## Segulspæta



Mynd [Ehiasarian et al., 2002]

- Pregar Ar jónast eykst þéttleiki rafgassins, jónastraumurinn eykst og ljósútgeislun frá  $\text{Ar}^+$  verður áberandi
- Nokkrum  $\mu\text{s}$  á eftri  $\text{Ar}^+$  toppnum er  $\text{Cr}^+$  útgeislun í hámarki, 10  $\mu\text{s}$  eftir að jónastraumurinn er í hámarki

49

## Pakkir

- Rannsóknir á púlsaðri segulspætu fara fram við Linköpingháskóla í Svíþjóð í samvinnu við prófessor Ulf Helmersson og doktorsnema hans Jonas Alami
- Ljósmaelingarnar voru framkvæmdar af A. P. Ehiasarian, doktorsnema við Hallam University í Sheffield á Englanldi
- Mikið af myndunum voru fengnar frá Unnari B. Arnalds meistarana í eðlisfræði á Raunvíssindastofnun Háskólangs
- Uppbygging á segulpætum á Raunvíssindastofnun hefur að mestu verið framkvæmd af Sveini Ólafssyni og Unnari B. Arnalds

51

## Samantekt

- Fjallað var almennt um spætun
- Segulspætutækni var kynnt
  - Fjallað um kosti hennar og galla
- Skoðaðar voru endurbætur á segulspætum
  - Kynntar niðurstöður mælinga á háafls púlsaðri segulspætu

50

## Heimildir

- [Chapin, 1974] Chapin, J. S. (January 1974). The planar magnetron. *Research/Development*, pages 37 – 40.
- [Ehiasarian et al., 2002] Ehiasarian, A. P., New, R., Münz, W.-D., Hultman, L., Helmersson, U., and Kouznetsov, V. (2002). Influence of high power densities on the composition of pulsed magnetron plasmas. *accepted for publication in Vacuum*.
- [Gudmundsson et al., 2001] Gudmundsson, J. T., Alami, J., and Helmersson, U. (2001). Evolution of the electron energy distribution and the plasma parameters in a pulsed magnetron discharge. *Applied Physics Letters*, 78:3427 – 3429.
- [Gudmundsson et al., 2002] Gudmundsson, J. T., Alami, J., and Helmersson, U. (2002). Spatial and temporal behavior of the plasma parameters in a pulsed magnetron discharge. *to be submitted to Surface and Coating Technology*.
- [Ólafsson and Arnalds, 1999] Ólafsson, S. and Arnalds, U. B. (1999). Veikt jónað rafgas: Kennistærðir og notkun. In Ólafsson, A., editor, *Eðlisfræði á Íslandi IX*, pages 143–152. Reykjavík. Eðlisfræðistoflag Íslands.
- [Thornton and Penfold, 1978] Thornton, J. A. and Penfold, A. S. (1978). Cylindrical magnetron sputtering. In Vossen, J. L. and Kern, W., editors, *Thin Films Processes*, pages 76 – 113. Academic Press, New York.
- [Valeron, 2000] Valeron, E. (September/October 2000). Sputtering advance reaches the target. *Vacuum Solutions*, pages 23 – 25.
- [Waits, 1978] Waits, R. K. (1978). Planar magnetron sputtering. In Vossen, J. L. and Kern, W., editors, *Thin Films Processes*, pages 131 – 173. Academic Press, New York.

52